

УДК 621.8.78

ОБОСНОВАНИЕ ПАРАМЕТРОВ РОТОРНОГО РАБОЧЕГО ОРГАНА С ЦИКЛОИДАЛЬНЫМ ДВИЖЕНИЕМ КОВШЕЙ И ЕГО КИНЕМАТИЧЕСКИЕ ОСОБЕННОСТИ

**Б.О. Ускембаева, А.А. Каипова, А.А. Утешбаева,
Е.М. Мажиев, Э.Х. Абдрасилова, Ж. Камархан**

Предложены алгоритм и программа расчета траектории РП ротора при циклоидальном перемещении ковшей, а также математическая модель динамики движения роторного реактора с циклоидальным движением ковшей относительно центра масс (уравнение физического маятника). Скорость резания определена с учетом динамики циклоидального движения. При рациональном соотношении скорости вращения испытываемого ротора и движения машины для отчистки щебня могут определяться при условиях заполнения ковша за время его движения на поверхность, с учетом таких величин, как ширина балластовой призмы и ее высота, а также с учетом коэффициента разрыхления почвы и коэффициента заполнения ковшей.

Ключевые слова: скорость резания; рабочий орган РО; дифференциальное уравнение колебаний; конструктивные особенности.

ЦИКЛОИДДИК КҮЙМЫЛДАГЫ СУЗГУЧТАРЫ БАР РОТОРДУК ЖУМУШЧУ ОРГАНДЫН ПАРАМЕТРЛЕРИН ЖАНА АНЫН КИНЕМАТИКАЛЫҚ ӨЗГӨЧӨЛҮКТӨРҮН НЕГИЗДӨӨ

**Б.О. Ускембаева, А.А. Каипова, А.А. Утешбаева,
Е.М. Мажиев, Э.Х. Абдрасилова, Ж. Камархан**

Макалада сузгуттардын циклоиддик күймұлы менен ротордун РП траекториясын әсептөөнүн алгоритми жана программысы, ошондой эле сузгуттардын циклоиддик күймұлы менен айлануучу реактордун күймұлынын динамикасынын математикалық модели сунуш кылғынган. Массалық борборго карата сузгуттардын циклоиддик күймұлында ротордук реактордун термелүүсүнүн дифференциалдық теңдемеси алынған (физикалық маятниктін теңдемеси). Кесүү ылдамдығы циклоиддик күймұлын динамикасын әске алуу менен аныкталат. Сыноодугу ротордун айлануу ылдамдығы жана майдаланган ташты тазалоочу машинанын күймұлы алардын рационалдуу катышында балласттык призманын тууразы жана анын бийкитги сыяктуу чондуктарды, ошондой эле топуркты жумшартуу коэффициентин жана сузгуттарды толтуруу коэффициентин әске алуу менен, жер бетине күймұлдоо учурунда чаканы толтуруу шарттарында аныкталышы мумкүн.

Түйүндүү сөздөр: кесүү ылдамдығы; жумушчу орган; термелүүлөрдүн дифференциалдық теңдемеси; конструктивдүү өзгөчөлүктөрү.

SUBSTANTIATION OF PARAMETERS OF A ROTARY WORKING BODY WITH A CYCLOIDAL MOVEMENT OF BUCKETS AND ITS KINEMATIC FEATURES

**B.O. Uskembayeva, A.A. Kaipova, A.A. Uteshbaeva,
E.M. Mazhiyev, E.Kh. Abdrasilova, Zh. Kamarkhan**

An algorithm and a program for calculating the trajectory of the RP of the rotor at cycloidal movement of buckets are proposed. A mathematical model of the dynamics of motion of a rotary reactor with cycloidal movement of ladles

is proposed. The differential equation of oscillations of the rotor at cycloidal movement of buckets relative to the center of mass (the equation of a physical pendulum) is obtained. The cutting speed is determined taking into account the dynamics of the cycloidal movement, the rotor oscillations are equal, expressed by the equation. With a rational ratio of the rotation speed of the tested rotor and the movement of the machine for cleaning crushed stone can be determined under conditions of filling the bucket during its movement to the surface, taking into account such quantities: as the width of the ballast prism and its height, as well as taking into account the coefficient of soil loosening and the filling factor of the buckets.

Keywords: cutting speed; working body RO; differential equation of oscillations; rotor axes; design features.

Траектория резания вращающегося рабочего РО при циклоидальном перемещении ковшей формируется в результате совмещения поступательного движения щебеноочистки со скоростью v_i и вращательного движения ротора со скоростью ω_p (рисунок 1). Направление вращательного движения в нижней части ротора совпадает с направлением поступательного движения машины, а в верхней части противоположно ему [1].

В каждый момент движения РО в некоторой точке, находящейся на расстоянии от оси ротора вверх, скорость поступательного и вращательного движения уравнивается. Последовательные положения этой точки образуют прямую линию, параллельную поверхности решетки на расстоянии от траектории оси ротора. Поэтому траекторию резания можно представить в виде замкнутой кривой с отрезками прямой равной длины, образованной конструктивными особенностями роторного механизма [2].

Траектории описываются точкой M на продолжении радиуса катящегося круга, на расстоянии L от его центра. Уравнение траектории резания в принятой системе координат:

$$\left. \begin{array}{l} x = v_{\text{машины}} \cdot t - c + e \cdot \cos(\omega_l t) + l \cdot \cos(\omega \cdot t) \\ z = -H_{o.p.} - (e \cdot \sin(\omega_l t) + l \cdot \sin(\omega \cdot t)) \end{array} \right\}, \quad (1)$$

где $v_{\text{машины}}$ – скорость движения ротора РО при циклоидальном движении ковшей; t – время, отсчитываемое от момента нахождения режущих кромок рассматриваемого ковша в точке K , на уровне дна балластной призмы; c – вылет оси вращения ротора; $H_{o.p.}$ – разность уровней платформы щебеночной машины и оси вращения ротора; ω_l – угловая скорость носителя; e – эксцентриситет; L – расстояние от центра оси колеса до края ковша.

Расстояние от точки O до M – это L (расстояние от центра оси колеса до края ковша) (рисунок 2):

$$L = OM = \sqrt{(R - r)^2 + l'^2 - 2(R - r) \cdot l \cdot \cos(\phi_l - \phi)}, \quad (2)$$

где r – радиус сателлита; l' – расстояние от O_l до точки M ; R – радиус шестерни; ϕ – угол поворота сателлита; ϕ_l – угол поворота эксцентриситета (несущей).

Глубина отделенного балласта:

$$H = L + H_{o.p.} - H_{nl}, \quad (3)$$

где H_{nl} – высота платформы.

Шаг траектории резания каждым из ковшей роторного РО при циклоидальном движении ковшей – это гипоциклоиды, измеренные в направлении движения очистителя щебня.

Длина одной гипоциклоиды из пяти определяется по уравнению:

$$\left. \begin{array}{l} x = \phi(t) \\ y = \psi(t) \end{array} \right\},$$

$$\begin{aligned}
 l_0 &= \int_{t_0}^{t_1} \sqrt{\left[\phi'(t) \right]^2 + \left[\psi'(t) \right]^2} dt, \\
 x &= (R-r) \cos \phi + r \cos \left[\frac{(R-r)}{r} \phi \right], \\
 y &= (R-r) \sin \phi - r \sin \left[\frac{(R-r)}{r} \phi \right], \\
 \frac{dx}{d\phi} &= - \left\{ (R-r) \sin \phi + \frac{r^2}{(R-r)} \sin \left[\frac{(R-r)}{r} \phi \right] \right\}, \\
 \frac{dy}{d\phi} &= (R-r) \cos \phi - \frac{r^2}{(R-r)} \cos \left[\frac{(R-r)}{r} \phi \right], \\
 \alpha &= \left(\frac{R-r}{r} \right) \phi, \\
 \left(\frac{dx}{d\phi} \right)^2 &= (R-r)^2 \sin^2 \phi + 2r^2 \sin \phi \cos \phi + (R-r) \sin \phi + \left[\frac{r^2}{(R-r)} \right]^2 \sin^2 \alpha \\
 + & \\
 \left(\frac{dy}{d\phi} \right)^2 &= (R-r)^2 \cos^2 \phi - 2r^2 \cos \phi \sin \phi + \left[\frac{r^2}{(R-r)} \right]^2 \cos^2 \alpha \\
 (R-r)^2 - 2r^2 [\sin \phi \cos \phi - \cos \phi \sin \phi] + \left[\frac{r^2}{(R-r)} \right]^2 &= \\
 = \frac{(R-r)^4 + r^4}{(R-r)^2} - 2r^2 [\sin \phi \cos \phi - \cos \phi \sin \phi] &= \\
 = \left| \frac{(R-r)^4 + r^4}{(R-r)^2} = p; \quad 2r^2 = q \right| &= p - q [\sin \phi \cos \phi - \cos \phi \sin \phi] \\
 l_0 &= \int_0^{2\pi} \sqrt{p - q (\sin \phi \cos \phi - \cos \phi \sin \phi)} d\phi, \tag{4}
 \end{aligned}$$

$$\begin{aligned}
 \sin \phi \cos \phi &= \frac{1}{2} [\cos(\phi - \alpha) - \cos(\phi + \alpha)], \\
 \cos \phi \sin \phi &= \frac{1}{2} [\cos(\alpha + \phi) + \cos(\phi - \alpha)], \\
 l_0 &= \int_0^{2\pi} \sqrt{p - q \cos \left(\frac{R}{r} \phi \right)} d\phi, \tag{5}
 \end{aligned}$$

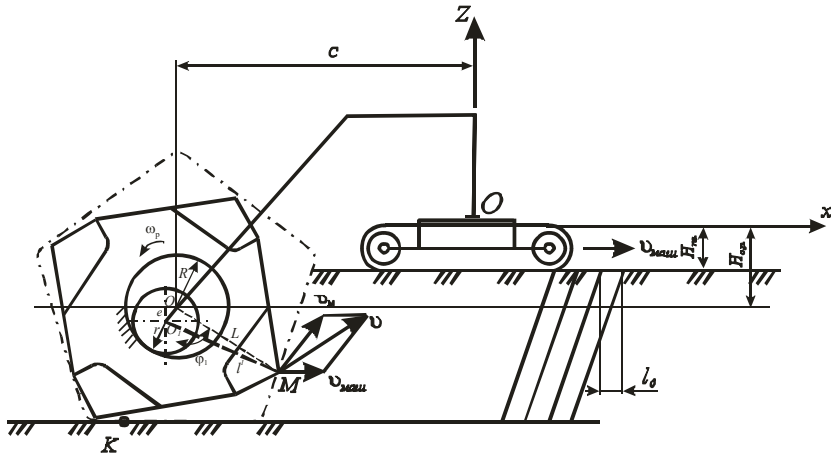


Рисунок 1 – Расчетная схема привода машины для очистки щебня

Шаг последовательных траекторий резания:

$$l = \frac{l_0}{n_k},$$

где n_k – количество ковшей [3, 4].

Скорость резания v_{pez} регулируется. При повороте ротора на угол $\phi_i = \omega_i t$, где ω_i – угловая скорость вращения сателлита.

$$\begin{cases} \dot{x} = v_{mash} - e\omega_i \sin(\omega_i t) - l\omega \sin(\omega t) \\ \dot{z} = -e\omega_i \cos(\omega_i t) - l\omega \sin(\omega t) \end{cases}, \quad (6)$$

$$v_{pez} = \sqrt{\dot{x}^2 + \dot{z}^2}, \quad (7)$$

$$v_{pez} = \sqrt{v_{mash}^2 - 2v_{mash}(e\omega_i \sin(\omega_i t) + l\omega \sin(\omega t)) + e^2\omega_i^2 + l^2\omega^2 - 2e\omega_i l\omega \cos(t(\omega_i + \omega))}. \quad (8)$$

Зависимость частоты вращения ротора РО и движения машины для очистки щебня:

$$n_k \cdot l = v_{mash} \cdot t,$$

$$n_k \cdot v_{pez} \cdot t = v_{mash} \cdot t.$$

Сокращая t , получаем:

$$n_k \cdot v_{pez} = v_{mash}.$$

Равенство углов резки (рисунок 2):

$$\delta = \delta_i + \arctg k - \phi_i. \quad (9)$$

Толщина срезаемого слоя в каждой точке траектории на (рисунок 3) от треугольника:

$$h = \frac{\hat{e}}{n_k} \sin(\arctg k) \quad (10)$$

или

$$h = \frac{l_0}{n_k} \sin(\arctg k) = \frac{l_0}{n_k} \frac{k}{\sqrt{1+k^2}}. \quad (11)$$

Рациональное соотношение скоростей вращения предлагаемого ротора и движения машины для очистки щебня определяется из условия заполнения каждого ковша за время его движения в балласте на поверхность:

$$q_r = \frac{\uparrow e}{n_k} B H, \quad (12)$$

где B – ширина балластной призмы (слой щебня); H – высота балластной призмы (слой щебня) или

$$q_r = \frac{\uparrow B H v_{max}}{n_k \omega_p}, \quad (13)$$

откуда угловая скорость ротора:

$$\omega_p = v_{max} \frac{\uparrow \cdot B H k_{pas}}{n_k q_r k_{han}} \quad (14)$$

или

$$\omega_p = \frac{\uparrow \cdot \Pi k_{pas}}{n_k q_r k_{han}}, \quad (15)$$

$$\Pi = (v_{max} \cdot BH),$$

где Π – производительность поворотного РО с циклоидальным перемещением ковшей; k_{pas} – коэффициент разрыхления почвы; k_{han} – коэффициент заполнения ковшей.

Диаметр ротора:

$$D_p = (1,75 \div 1,85)H, \quad (16)$$

где H – наибольшая глубина резания щебеночного слоя.

Шаг ковша равен:

$$T_k = \frac{\uparrow}{n_k}, \quad (17)$$

где n_k – число ковшей [5].

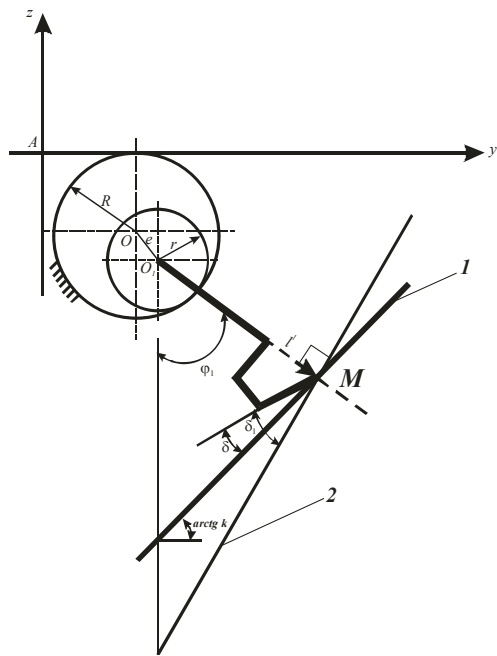


Рисунок 2 – Схема определения угла резания:
1 – по касательной к траектории резания; 2 – касательная к ротору

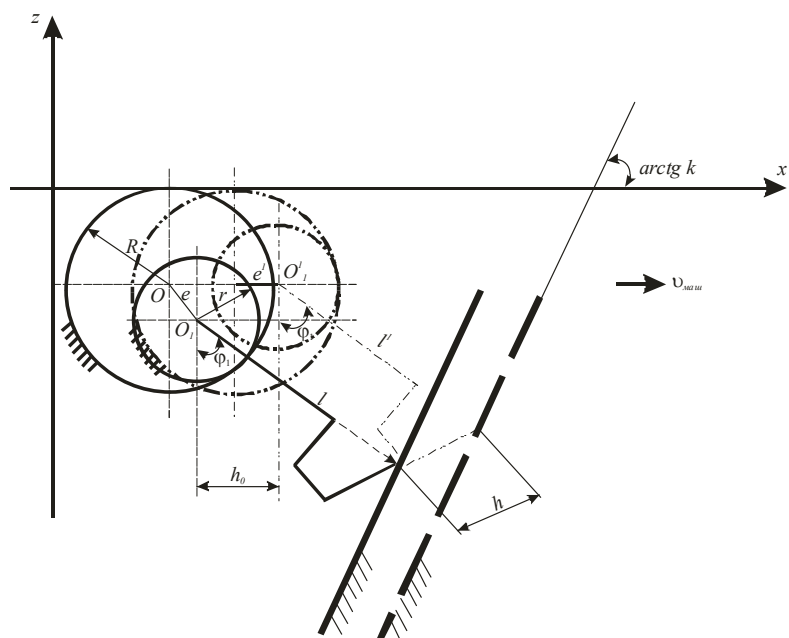


Рисунок 3 – Схема определения толщины срезаемого слоя

Выводы. Проведя анализ конструкций РО с циклоидальным движением ковшей в зависимости от кинематических параметров, определили скорость резания, выраженную уравнением с учетом динамики циклоидального движения и колебания ротора, в результате чего был предложен алгоритм расчета и математическая модель.

Литература

1. Баловнев В.И. Создание дорожно-строительных машин с интеллектуальным управлением / В.И. Баловнев, Р.Г. Данилов // Строительные и дорожные машины. 2014. № 2. С. 57–60.
2. Баловнев В.И. Снижение рисков использования землеройной техники вне оптимальных условий эксплуатации / В.И. Баловнев // Механизация строительства. 2015. № 5. С. 52–54.
3. Баловнев В.И. Определение параметров фрезерно-гранулирующего смесительного агрегата ресайклера / В.И. Баловнев // Механизация строительства. 2015. № 2. С. 16–19.
4. Баловнев В.И. Новые методы расчета сопротивлений резанию грунтов инновационными рабочими органами / В.И. Баловнев, Р.Г. Данилов // Механизация строительства. 2016. № 7. С. 5–13.
5. Баловнев В.И. Определение параметров и выбор транспортно-технологических машин по критерию минимальной стоимости единицы продукции / В.И. Баловнев, Р.Г. Данилов, В.Я. Дворковой // Механизация строительства. 2016. № 12. С. 32–37.